

*С. Г. Стельмащук*

Українська академія друкарства

**ДОСЛІДЖЕННЯ ЕФЕКТИВНОСТІ ЗАСТОСУВАННЯ  
ПРОГРАМНИХ РОЗВАНТАЖУВАЧІВ  
ІЗ ЗАОКРУГЛЕНИМИ ВИСТУПАМИ КУЛАЧКІВ**

На базі аналітичного дослідження кулачків програмного розвантажувача показано спосіб забезпечення їх віддалення від загострення профілів і отримання ефективності їх використання.

*Кулачки, програмний розвантажувач, механізм неповнозубих коліс, відносна віддаль*

Основною проблемою синтезу програмних розвантажувачів (ПР) у системі механізмів неповнозубих коліс (НЗК), особливо якщо кулачки-програмоносії розташовуються безпосередньо біля веденої маси, а потік

потужностей замикається на короткому лінійному проміжку, є проблема загострення кулачків на початку циклу, коли кутова швидкість кулачкового вала та, відповідно, і кінетична енергія ведених мас дорівнюють нулеві, а потенціальна енергія заряджених пружин має максимальну величину. Як показало дослідження радіусів кривизни кулачків ПР НЗК [Стельмащук С. Г. Дослідження радіусів кривизни профілів кулачків програмних розвантажувачів / С. Г. Стельмащук // Поліграфія і видавнича справа. — 2007. — Вип. 1 (45). — с. 125–129], крива залежності цих радіусів у функції позиційного інваріанта починається з нульових значень. З цього випливає, що виконати умову віддалення від загострення дійсних профілів кулачків протягом всього циклу неможливо, оскільки коромислові штовхачі мають бути забезпечені роликами відповідного діаметра. Як вимушене розв'язання цієї задачі — кулачки ПР мають виконуватись із заокругленими вершинами. Це приводить до деякого відхилення від теоретично повного зрівноважування надлишкових інерційних сил і моментів на початку кінематичного циклу, яке, як показав відповідний аналіз, становить не більше 2–3%.

Мета статті — провести дослідження ефективності застосування програмних розвантажувачів із заокругленими виступами кулачків. Для розв'язання цієї задачі потрібно спочатку зробити геометричний аналіз вершин кулачків і дати рекомендації для оптимального проектування цього пристрою, зокрема розробити програму для виготовлення кулачків-програмоносіїв.

Центри радіусів кривизни профілів кулачків ПРЦМ S (рис. 1) знаходяться за початковою лінією максимального радіуса-вектора ( $O_3F_m$ ). Так, центри кривизни профілю ( $F_m f_1$ ) розташовані на кривій ( $F_m a$ ), а центри кривизни профілю ( $F_m f_2$ ) — на кривій ( $F_m b$ ), — геометричних місцях центрів кривизни профілів кулачків.

Позначимо через  $x_0 = \frac{L_{FM}}{S_{xp}}$  відносні величини відстаней по нормальні  $n-n$  від точки профілю  $F$  до точки перетину нормалі з лінією ( $O_3F_m$ ). Центр рівнорадіусного виступу має бути на лінії ( $O_3F_m$ ) у такому місці  $M_0$ , щоб виконувалась умова: відносна відстань  $x_0$  повинна бути рівною відносному радіусу заокруглення  $r_{no}$ , тобто  $x_0 = r_{no}$ .

Таким чином, ділянка ( $F_0 F_m$ ) буде описана радіусом  $r_{no}$  і умову віддалення дійсних профілів кулачків від заклиновання буде здійснено, оскільки виконується нерівність  $r_{no} > 0,5n_1 v_4$ .

Поточна величина  $x_0$  визначається з трикутників  $O_3FO_4$  і  $O_3FM$  [Стельмащук С. Г. Дослідження радіусів кривизни профілів кулачків програмних розвантажувачів / С. Г. Стельмащук // Поліграфія і видавнича справа. — 2007. — Вип. 1 (45). — с. 125–129]

$$x_0 = r_{ko} \frac{\sin \psi_k}{\sin(\psi_k + \frac{\gamma_i}{2} - \alpha_k)}, \quad (1)$$

де  $\psi_k = a_k \cdot [2 i_1 \psi_{akl}]$ .

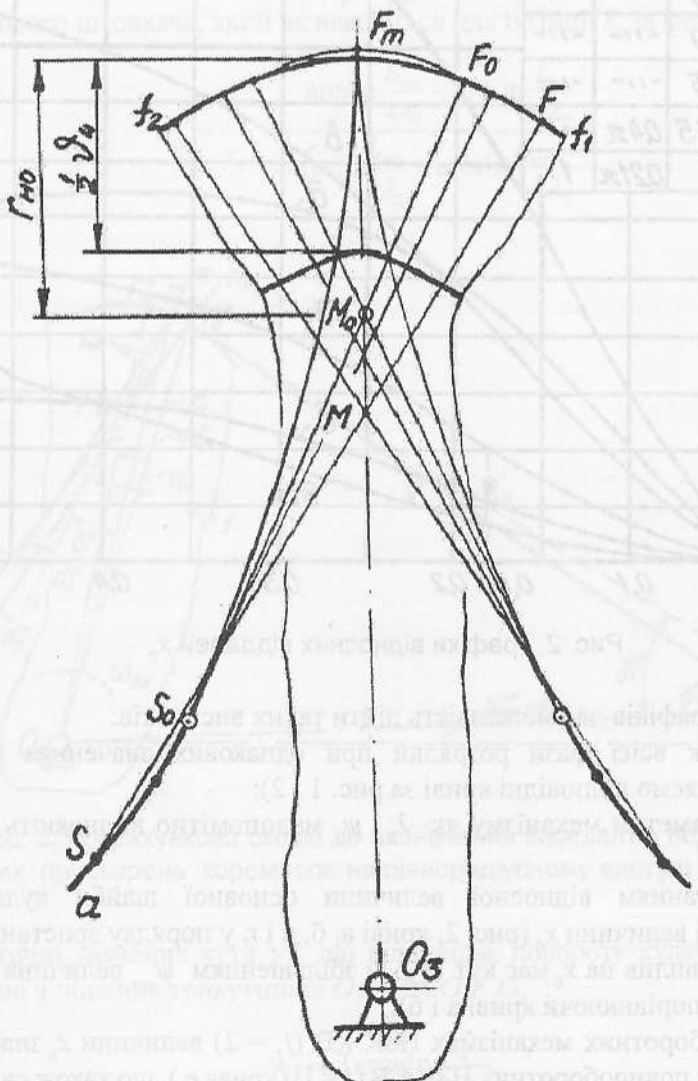
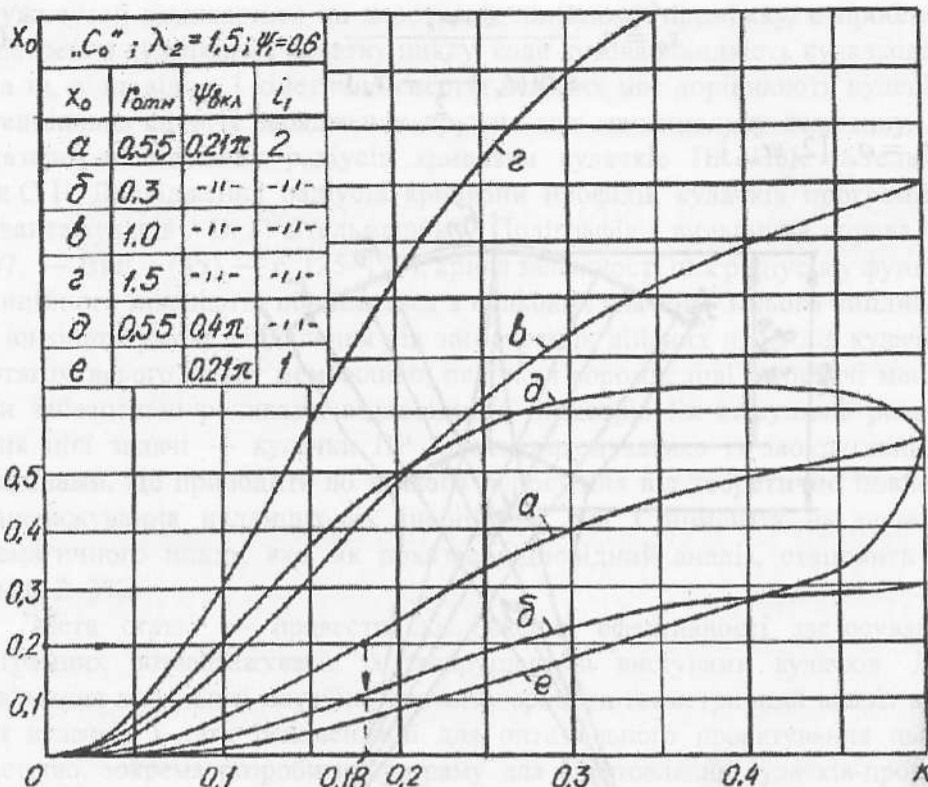


Рис. 1. Геометрія кулачка ПР з рівнорадіусним виступом

Графіки відносних відстаней  $x_0$  побудовано за формулою (1) при варіюванні  $r_{oiidn} = 0,3 - 1,5$ ;  $\psi_{akl} = 0,21\pi - 0,4\pi$ ;  $i_1 = 2$ ,  $i_1 = 2$  і постійних — «Со»,  $\lambda_2 = 1,5$ ;  $\psi_1 = 0,6$ , наведені на рис. 2.

Рис. 2. Графіки відносних віддалей  $x_0$ 

Аналіз графіків дає можливість дійти таких висновків:

впродовж всієї фази розрядки при одинакових значеннях параметрів  $x_0 < r_{\text{отн}}$  (порівняємо відповідні криві за рис. 1 і 2);

такі параметри механізму як  $\lambda_2$  і  $\psi$ , малопомітно впливають на величини  $x_0$ ;

зі зростанням відносної величини основної шайби кулачка  $r_{\text{відн}}$  збільшуються і величини  $x_0$  (рис. 2, криві а, б, в і г, у порядку зростання  $r_{\text{відн}}$ );

значний вплив на  $x_0$  має кут  $\psi_{\text{вкл}}$ : зі збільшенням  $\psi_{\text{вкл}}$  величина  $x_0$  також збільшується (порівнюючи криві а і б);

у напівоборотних механізмах НЗК КВ ( $i_1 = 2$ ) величини  $x_0$  значно вищі (крива а), ніж у повнооборотних НЗК КВ ( $i_1 = 1$ ) (крива е), що також свідчить на користь напівоборотних механізмів.

Використовуючи графіки (рис. 2), обчислюємо для заданих параметрів механізму НЗК КВ положення  $k_0$ , яке відповідає початку рівнорадіусного профілю, де  $x_0 = r_{\text{отн}}$ .

Для положення  $k_0$  і уточненого за формулою (1) значення  $x_0$  визначаємо інваріанти кутових переміщень кулачкового валу ПРЦМ і коромислового штовхача (рис. 3):

$$\psi_{ko}^* = a_{ko}^* \cdot 2i_1 \psi_{kko},$$

$$\gamma_{io}^* = \gamma_u + \gamma_m (1 - a_{kko}^*)$$

де  $a_{ko}^*$  — інваріант подібності кутових переміщень кулачкового валу ПРЦМ для позиції, що відповідає положенню  $k_o$ ;  $a_{kko}^*$  — інваріант подібності переміщень коромислового штовхача, який визначається для позиції  $k_o$  за формулою:

$$a_{kko} = \frac{\gamma_k}{\gamma_m} = \frac{\arcsin \frac{L_{mo}}{4\lambda_2} - \arcsin \frac{L_{ko}}{4\lambda_2}}{\arcsin \frac{L_{mo}}{4\lambda_2} - \arcsin \frac{L_{mo}-1}{4\lambda_2}}.$$

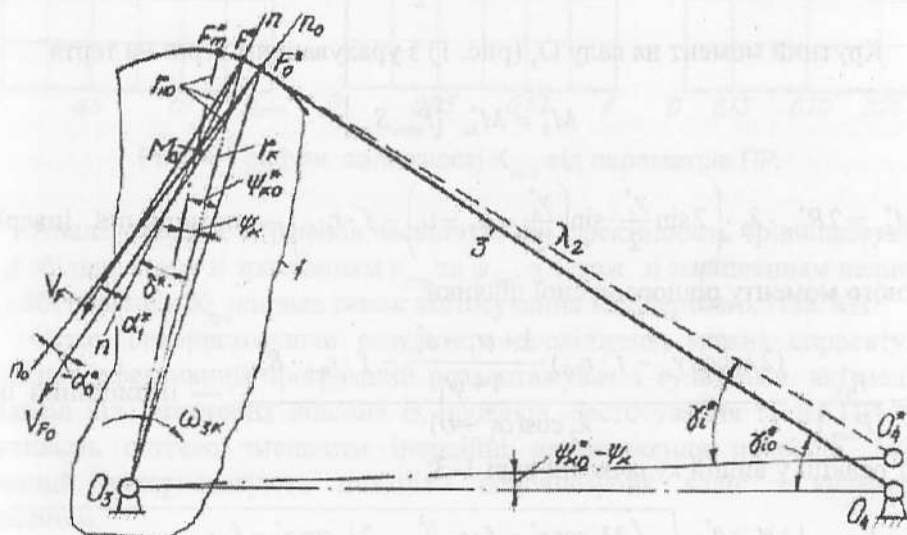


Рис. 3. Розрахункова схема до визначення інваріантів подібності кутових прискорень коромисла на рівнорадіусному виступі кулачка ПР

Поточні значення кута  $\gamma_i^*$ , що відповідає повороту кулачка на кут  $\psi_k^*$ , визначаємо з рішення трикутників  $O_3MF^*$  і  $O_3F^*O_4^*$ :

$$\gamma_i^* = 2 \arcsin \frac{r_k^*}{2\lambda_2},$$

$$\text{де } r_k^* = r_{ho} \frac{\sin(\delta^* + \psi_k)}{\sin \psi_k};$$

$$\delta^* = \arcsin \left[ \sin \left( \frac{\gamma_{io}^* - \alpha_0^*}{2} \right) \cdot \frac{\sin \psi_k}{\sin \psi_{ko}^*} \right];$$

де  $\alpha_0^*$  — кут тиску, який для позиції  $k_o$  визначається за формулою:

$$\operatorname{tg} \alpha_k = \frac{\pm \frac{b_{ky}}{b_k} \cdot \frac{\gamma_m}{2i_1 \psi_{\text{вкл}}} \cdot \cos(\gamma_u + \gamma_m(1 - \alpha_{ky})) + 1}{\sin(\gamma_u + \gamma_m(1 - \alpha_{ky}))}.$$

Інваріанти подібності кутових переміщень коромисла на ділянці кулачка, де  $r_{ho} = \text{const}$ ,  $r_{uo} = \text{const}$ , можна визначити за формулою:

$$\alpha_{ky}^* = \frac{\gamma_u + \gamma_m - \gamma_i^*}{\gamma_m}. \quad (2)$$

Поточне значення кутів тиску визначається рівністю:

$$\alpha_i^* = \frac{\gamma_i^*}{2} - \delta^*.$$

Крутний момент на валу  $O_3$  (рис. 1) з урахуванням втрат на тертя

$$M_3^* = M_{3u}^* \cdot [P_{\max} S_{yy}],$$

де  $M_{3u}^* = 2R_{13u}^* \cdot \lambda_2 \cdot \left( 2 \sin \frac{\gamma_i^*}{2} \cdot \sin \left( \frac{\gamma_i^*}{2} - \alpha_1^* - \nu \right) - f \cdot r_{0,0} \right)$  — позиційний інваріант крутного моменту рівнорадіусної ділянки;

$$R_{13u}^* = \frac{R_{13}^*}{[P_{\max}]} = \frac{(2\lambda_2 \cos \gamma_{1i}^* - f \cdot r_{E0}) \cdot \frac{1 + \psi_1 - a_{ky}^*}{1 + \psi_1} - f \cdot r_{0,0} \cdot R_{03u}^*}{\lambda_2 \cos(\alpha_1^* + \nu)} \quad \text{— позиційний інваріант реакції у вищій кулачковій парі 1–3;}$$

$$R_{03u}^* = \frac{R_{03}^*}{[P_{\max}]} = \frac{1 + \psi_1 - a_{ky}^*}{1 + \psi_1} \sqrt{1 + \left( \frac{2\lambda_2 \cos \gamma_{1i}^* - f \cdot r_{E0}}{\lambda_2 \cos(\alpha_1^* + \nu)} \right)^2 - 2 \frac{2\lambda_2 \cos \gamma_{1i}^* - f \cdot r_{E0}}{\lambda_2 \cos(\alpha_1^* + \nu)} \cdot \cos(\gamma_{1i}^* - \alpha_1^* - \nu)}$$

позиційний інваріант реакції в кінематичній парі 0–3;

$$\gamma_{1i}^* \approx \arcsin \frac{L_{mo} - a_{ky}^*}{4\lambda_2} \quad \text{— кут відхилення лінії } E_1 O_4 \text{ від лінії центрів } O_3 O_4.$$

Коефіцієнти зрівноважування у цьому випадку визначаються за формулою:

$$K_{y2} = \frac{M_{3u\text{уд},m}}{|M_{3u\text{уд}} - M_3^*|_m} = \frac{M_{3u\text{уд},m}}{|M_{3u\text{уд}} - M_{3u}^*|_m},$$

де  $M_{3u\text{уд},m}$  — максимальна величина інваріанта потрібного крутного моменту на валу  $O_3$ ;  $|M_{3u\text{уд}} - M_{3u}^*|_m$  — максимальна величина різниці інваріантів крутних моментів — необхідного  $M_{3u\text{уд}}$  та фактичного  $M_{3u}^*$ .

У таблиці і на рис. 4 подано графіки і значення  $K_{y2}$  при варіюванні висхідних параметрів  $r_{ho}$ ,  $\psi_{\text{вкл}}$ ,  $i$ ,  $r_{\text{омн}}$  і коефіцієнтів тертя в кінематичних парах ПР.

### Коефіцієнти зрівноважування при варіюванні параметрів ПР

| Параметр      | $\lambda_2$ | $\psi_{\text{екл}}$ |       | $i_f$ |      | $\psi_f$ |      |
|---------------|-------------|---------------------|-------|-------|------|----------|------|
| Значення      | 1,0         | 1,5                 | 0,21π | 0,4 π | 1    | 2        | 0,4  |
| $K_{y_{p,3}}$ | 2,11        | 2,08                | 2,08  | 2,84  | 1,35 | 2,08     | 2,14 |

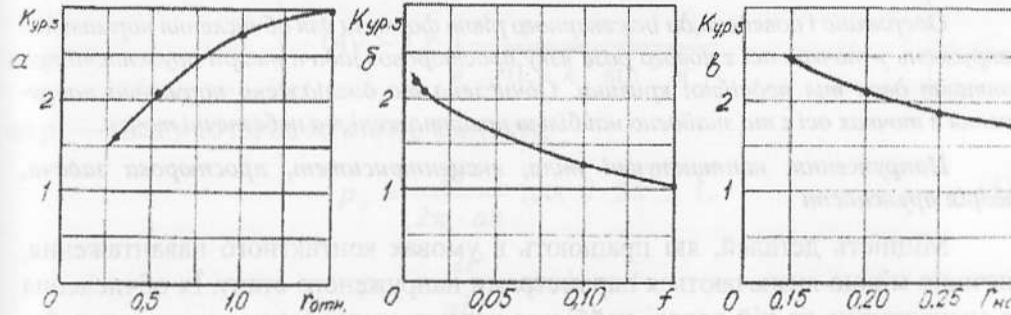


Рис. 4. Графіки залежності  $K_{y_{p,3}}$  від параметрів ПР

Аналіз таблиці і графіків засвідчує, що ефективність зрівноважування ( $K_{y_{p,3}}$ ) збільшується зі зростанням  $r_{\text{омн}}$  та  $\psi_{\text{екл}}$ , а також зі зменшенням величин  $f$  і  $r_{\text{но}}$ . Збільшенню  $K_{y_{p,3}}$  сприяє також застосування півобертових НЗК КВ.

Отже, використовуючи результати дослідження, можна спроектувати достатньо ефективний програмний розвантажувач з кулачками, які надійно віддалені від загострення дійсних їх профілів. Застосування таких ПР дасть можливість суттєво зменшити інерційні навантаження приводів, які як основний використовують механізм неповнозубих коліс з кулачковим вмиканням.

### ИССЛЕДОВАНИЕ ЭФФЕКТИВНОСТИ ПРИМЕНЕНИЯ ПРОГРАММНЫХ РАЗГРУЖАТЕЛЕЙ С ЗАКРУГЛЕННЫМИ ВЫСТУПЛЕНИЯМИ КУЛАЧКОВ

На базе аналитического исследования кулачков программного разгружателя показан способ обеспечения их удаления от заострения профилей и получение эффективности их использования.

### RESEARCH OF EFFICIENCY OF APPLICATION OF PROGRAMMATIC UNLOADERS IS WITH ROUNDING APPEARANCES OF FISTS

On the base of analytical research of cams of programmatic unloaders the method of providing of their removal from sharpening profiles and getting the efficiency of their use is shown.